

20 mm

※ 標準書式 (特に指定がない限り以下の書式を用いる)
段組 2段組 26字×54行 (Wordのレイアウトのページ設定では字送り9pt, 行送り13.45ptになる)
フォント 9pt 標準スタイル, 日本語: MS 明朝, 英数字: Times New Roman, ギリシャ文字: Symbol

原稿見本

上部 2 行空き (9pt 文字使用時の標準行高さ 13.45pt×2 行)

アルミニウムの圧縮加工における 工具表面凝着粒子のフラクタル解析

17pt
1行 22字以内

標題部は段組せず
すべて中央揃え

— 塑性加工におけるフラクタルの研究 第 2 報 —

全角ダッシュ 1 字

塑性 太郎* James C. SPENCER**

12pt
1行 3名以内

浅山 泰宏*** 村田 二郎*

Fractal Analysis of Adhesion Particles on Tool Surface in Compression of Aluminum Strips

14pt

— A Study of Fractals in Plastic Working II —

12pt

Taroh SOSEI*, James C. SPENCER**,

Yasuhiro ASAYAMA*** and Jiroh MURATA*

11pt

行間: 上+0.5行程度 斜体

(Received on July 10, 1997) 11pt, 日付は校閲運営委員会で記入

1 行以上空き (9pt 文字使用時の標準行高さ 13.45pt 以上)

段落設定の [行グリッドに
合わせる] にチェック。
ページ設定の行グリッド
線の間隔は 1 行。
段落設定の [体裁] で,
・標準の禁則処理
・日本語と英数字の間隔
を自動調整
句読点は「, .」を使用。

Fractal geometry is applied to the analysis of particles adhered to the tool surface in simple compression of aluminum strips. The shape of particles is found to be self-similar, and their estimated fractal dimension depends on the surface topology of specimens, irrespective of the compression strain, tool surface finishing techniques and lubrication. The ratio of the total adhesion area to the apparent contact area increases with an increase in the fractal dimension of the tool surface. The cumulative frequency of each particle size (area) and the behavior of particle growth are also examined. A method for computer simulation of the adhesion feature is presented, and satisfactory images are constructed.

Key words: material testing, compression test, aluminum sheet, tribology, adhesion, measurement, tool surface, adhesion particles, fractal, self-similar.

ぶら下げ

1 行以上空き (9pt 文字使用時の標準行高さ 13.45pt 以上)

2 行の中央 (行高さ: 13.45pt+上下 0.5 行) 1. □ 緒 言 章見出し: MS ゴシック 10pt

金属の塑性加工における工具・素材面間の焼付き現象は、加工力の急増および工具・製品表面の損傷をもたらすため、古くからその現象の機構、発生条件、防止策などについて多くの研究がなされてきた(1)。しかしながら、定量的解明

および凝着挙動について検討する。

2. □ フラクタル次元の決定法

通常、フラクタル特性の表示量として用いられるフラクタル次元の決定にはいろいろな方法が考えられている(5, 6)。ここでは、凝着粒子形状および工具・試験片表面凹凸のフラクタル次元を以下のようにして定めた。

文献参照,
3 個以上
はハイフン

□ 2.1 □ 凝着粒子形状のフラクタル次元

節見出し: 標準行高さ MS ゴシック 9pt

一般に、物体の測度には次の 関係式が成立する。

$$L \propto A^{1/2} \propto V^{1/3} \quad (1)$$

$$t = t_0 e^{\varepsilon t} = t_0 \exp\{(a+1)\varepsilon t / (a-2)\} \quad (2)$$

$$\varepsilon_{eq}^{ij} = \sqrt{(1-\alpha + \alpha^2) / (\alpha - 2)^2} \quad (3)$$

$$\bar{\varepsilon}_v = \frac{1}{t_a - t_0} \int_{V_0}^{V_a} \left(-\frac{dV}{V} \right) = \frac{1}{t_a - t_0} \ln \frac{V_0}{V_a} \quad (4)$$

$$K_{lm} = \sum_{e=1}^E K_{lm}^e \quad (5)$$

ここに、L は長さ、A は面積、V は体積である。したがって

..... 代数記号は斜体

MS 明朝
上付き

西京大学工学部 〒814-0000 福岡市南区高砂 1-2-3
Faculty of Engineering, Seikyo University
1-2-3 Takasago, Minami-ku, Fukuoka 814-0000, Japan.
E-mail: sousei@jstp.or.jp

脚注 7pt, MS 明朝 Times New Roman

連絡担当者の E-mail アドレスを記する

同上 ibid.
(Institute of Metal Processing, London University of Technology, London UK)
東海自動車(株)大口工場 〒480-0001 愛知県丹羽郡大口町 5-25-1
Oguchi Factory, Tokai motor Co.,
5-25-1 Oguchi-cho, Niwa-gun, Aichi 480-0001, Japan.

ここではレイアウト枠を使用し、脚注のみ段落設定の [行グリッドに合わせる] チェックを解除しています。

原稿の執筆に当たっては、ホームページよりダウンロードした論文投稿原稿テンプレート WORD 版を使用してください。

20 mm

図表中の文字サイズは本文と同じかやや小さめ
少なくとも天地 2 mm (7 pt) を確保すること！

$$\varepsilon(t) = \frac{R}{E} \left[t - \tau_0 \left(1 - \exp \left(-\frac{t}{\tau_0} \right) \right) \right] \quad (10)$$

$$\varepsilon_{xx} = \frac{\partial u}{\partial x} + \frac{1}{2} \left\{ \left(\frac{\partial u}{\partial x} \right)^2 + \left(\frac{\partial v}{\partial x} \right)^2 + \left(\frac{\partial w}{\partial x} \right)^2 \right\} \quad (11)$$

文中の図表は初出のみ太字

5 供試材の単軸引張り特性値を (Table 1) に示す。材料の引張りおよび圧縮試験において得られた降伏応力 σ とひずみ速度 $\dot{\varepsilon}$ の関係を (Fig.7) に示す。

10

これより、潤滑、非潤滑のいずれにおいても正相関関係が認められ、表面粗さが同じでも D_{90} が大きい工具ほど γ が増大することに注意したい。これは D_{90} が大きいほど材料表面が工具表面に接触する確立が高くなるためであるが、15 工具表面の科学的活性が大きな影響を及ぼすという見方もある*1) があるので、本研究で得られた結果を直ちに一般則として他の工具に適用することは適切でない。

太字写真も Fig. 1

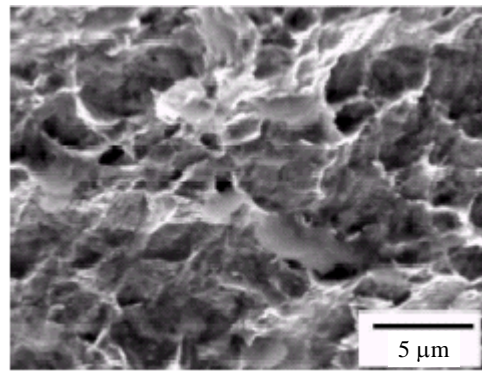


Fig. 8 SEM image of fracture surface

顕微鏡写真等には縮尺を入れる

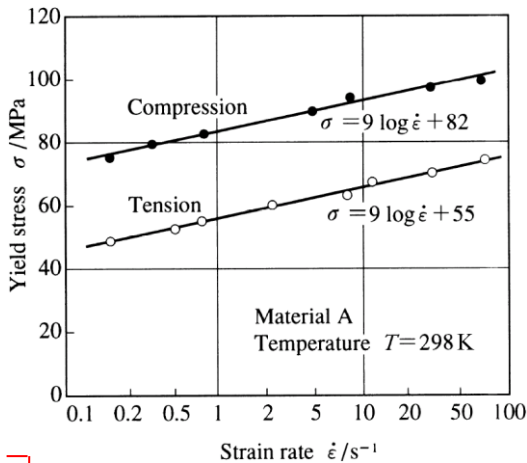
太字 図表と本文 1 行アキ

Table 1 Tensile properties of aluminum sheet⁸⁾

Angle to rolling direction / °	0	45	90	Mean
n value	0.248	0.262	0.277	0.262
r value	0.70	1.00	0.82	0.88
F value /MPa	159	154	161	157
Tensile strength /MPa	88	84	86	86
Total elongation /%	30.5	37.2	39.5	36.1

図表と図表 1 行アキ

図表中の文字は本文と同じ大きさかやや小さめ (7pt 以上)



全角 1 字分

Fig. 7 Relationship between yield stress σ and strain rate $\dot{\varepsilon}$ in tension and compression tests of material

2 行目以降の先頭文字はこのラインに揃える

*1 中村健二氏 (西北大学工学部) からの私信, ならびに平 7 塑加春期講演における同氏の討論による。

脚注は 7 pt, 日本語は MS P 明朝

参考文献 参考文献は英文表記が基本

Family name, First name. [Middle name].

- 1) Nakamura, Y.: Proc. 156th Sosei-Kako Symp., (1997), 67-77. 終端にピリオド
- 2) Mandelbrot, B. B.: The Fractal Geometry of Nature, (1982), 4-25, Freeman.
- 3) Takayasu, H.: Fractal, (1989), 14-20, Asakura Publishing.
- 4) Peitgen, H.O. and Saupe, D.: The Science of Fractal Images, (1988), 60-65, Springer-Verlag.
- 5) Kurosaki, K., Matsui, M., Asano, Y. and Murai, K.: J. Jpn. Soc. Technol. Plast., 38-433 (1997), 153-157. 巻数は太字
- 6) Kurosaki, K., Matsui, M., Kitoh, T. and Takayama, T.: Trans. Jpn. Soc. Mech. Eng., Ser. C, 62-602 (1997), 153-157.
- 12) Terayama, M. and Sakamoto, S.: Proc. 40th Jpn. Jt. Conf. Technol. Plast., (1989), 40-43.
- 13) Terayama, M. and Sakamoto, S.: Proc. Jpn. Soc. Mech. Eng., No. 943-2 (1994), 155-156.
- 14) Terayama, M. and Sakamoto, S.: Proc. Jpn. Soc. Mech. Eng., No. 943-2 (1994), 153-154.
- 15) Hanabusa, T.: JP. 1996-242688 (1996).

付録

同じ書誌の繰返しであっても, "同上" や "ibid" は使用しない

記号 (Nomenclature)		40
D	fractal dimension	
A_w, L_w	area and periphery length of adhesion particles	
$P(A_w)$	cumulative frequency of A_w	
$\dot{\varepsilon}$	strain rate	
μ	coefficient of friction	45
$\bar{\sigma}$	equivalent stress	

2 段均等割付 (正原稿提出時に行う)

(余白)

長さ: 140mm
太さ: 0.75pt
中央揃え